

# **3. Propiedades mecánicas de los materiales –Parte 2-**

## **Mecánica de Sólidos**

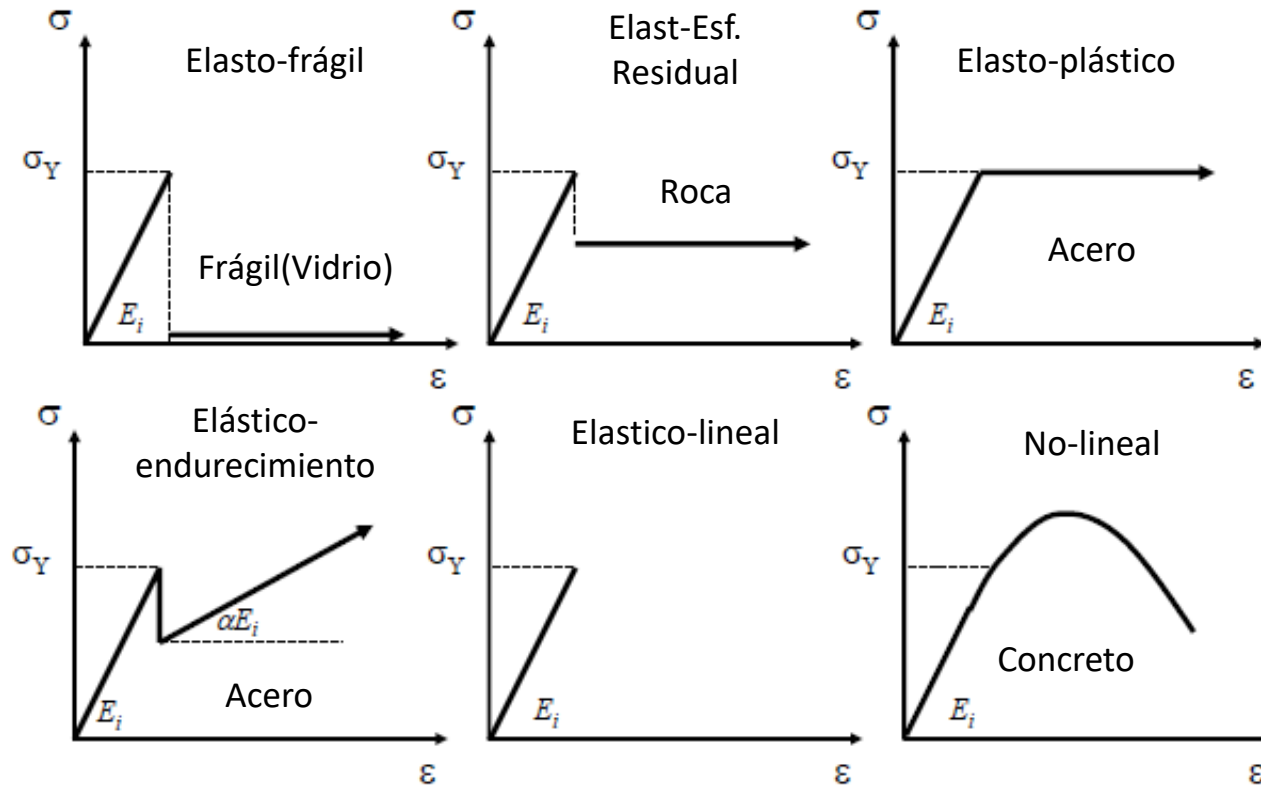
**Profesor: Juan Nicolás Villamizar Gonzalez, M.Sc.**

**Departamento de Ingeniería Civil**



Pontificia Universidad  
**JAVERIANA**  
Bogotá

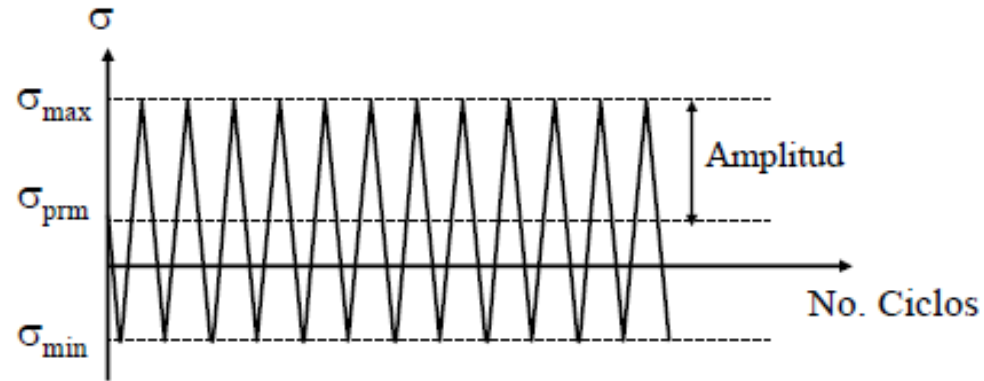
## 3.5 Modelos de comportamiento del material



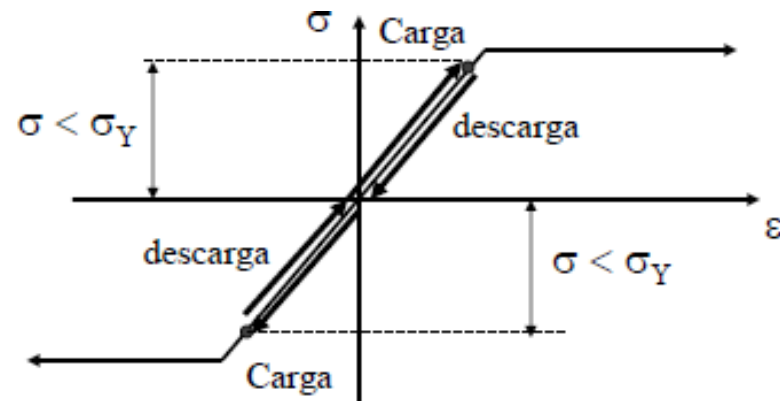
## 3.5 Modelos de comportamiento del material

¿Cómo saber el comportamiento del material? → Laboratorio

Protocolo de carga cíclica

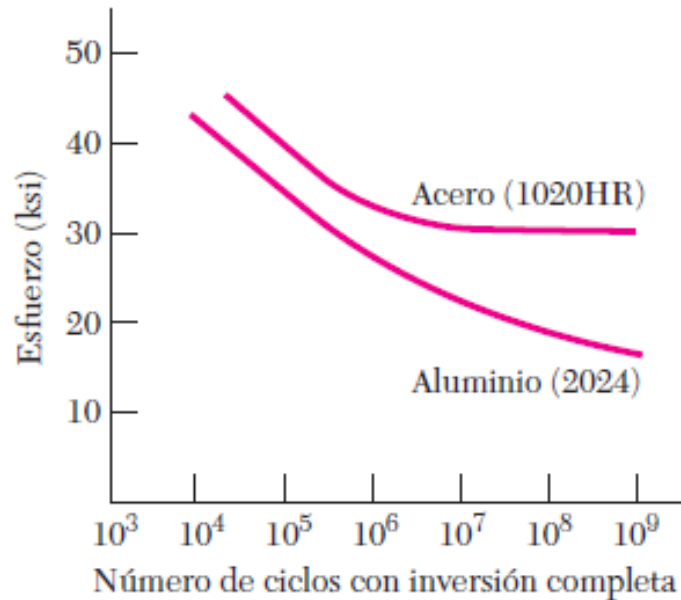


Comportamiento del material



## 3.5 Modelos de comportamiento del material

**Fatiga:** Reducción del esfuerzo estático de rotura



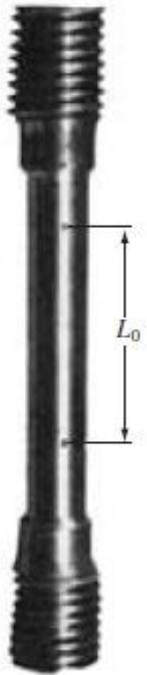
- La fatiga se presenta en forma frágil, aún para materiales dúctiles.
- La fatiga se presenta cuando un material está sometido a ciclos repetitivos de carga en el rango elástico.
- Para el diseño, el esfuerzo se define en función de un número de ciclos máximo.

## 3.5 Modelos de comportamiento del material

**Creep:** Deformación en el tiempo debido a cargas permanentes

- Problema asociado a elementos sometidos en altas temperaturas o alto esfuerzo.
- Resistencia al creep: El valor más alto que puede resistir un material durante un tiempo determinado, sin causar una deformación específica.
- Pernos de acero: 1% año
- Cables de acero: 0.25%/ año

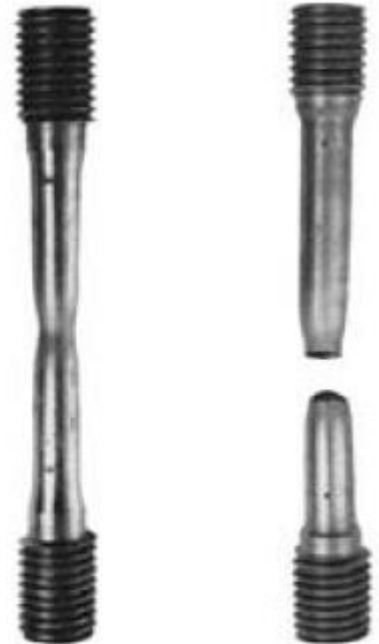
## 3.6 Ensayos en materiales



COMPORTAMIENTO  
MATERIAL

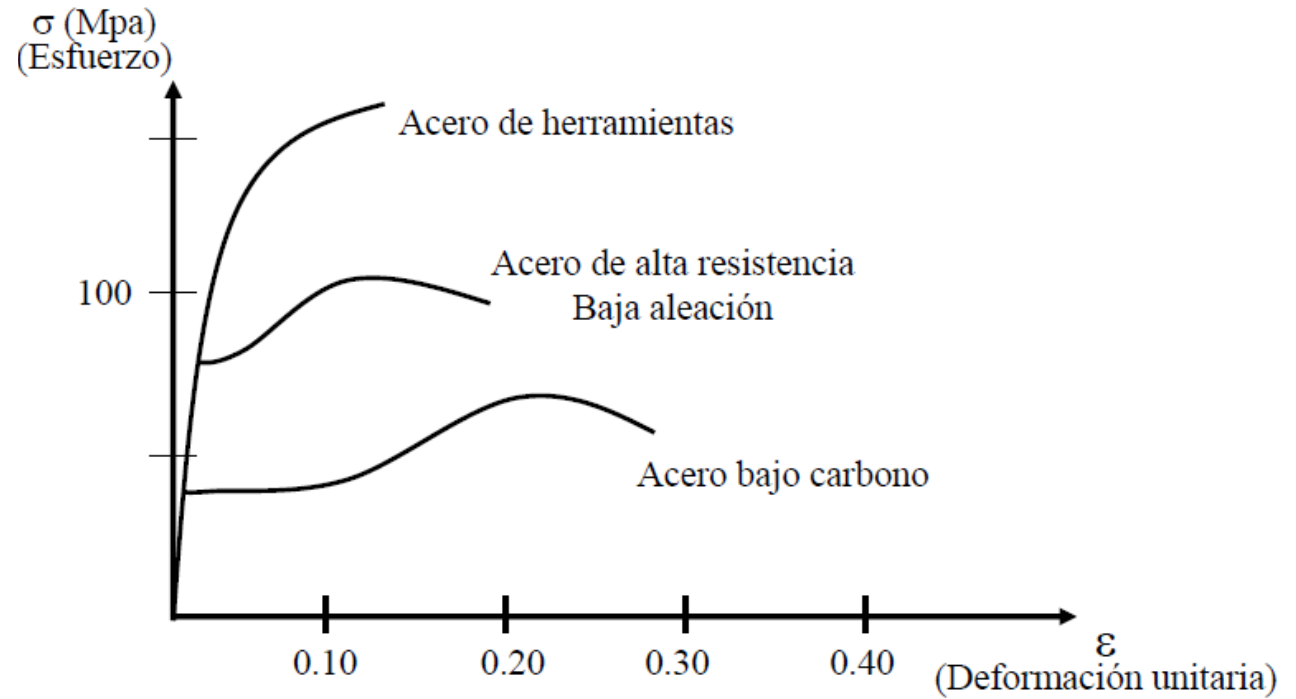
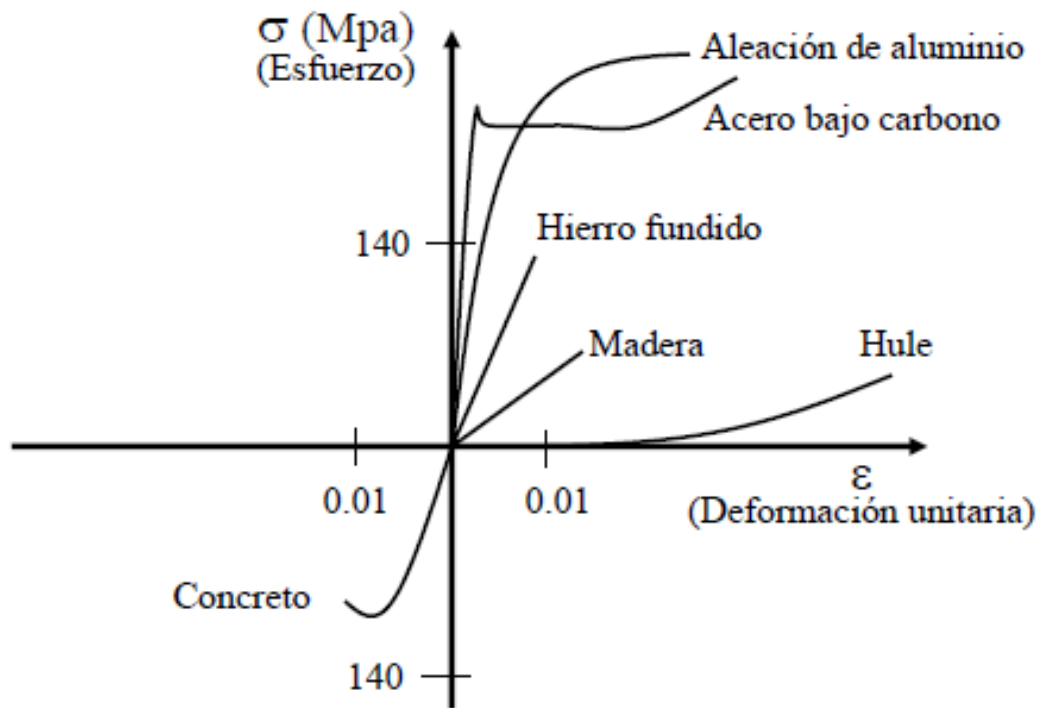


ENSAYOS EN  
MATERIALES



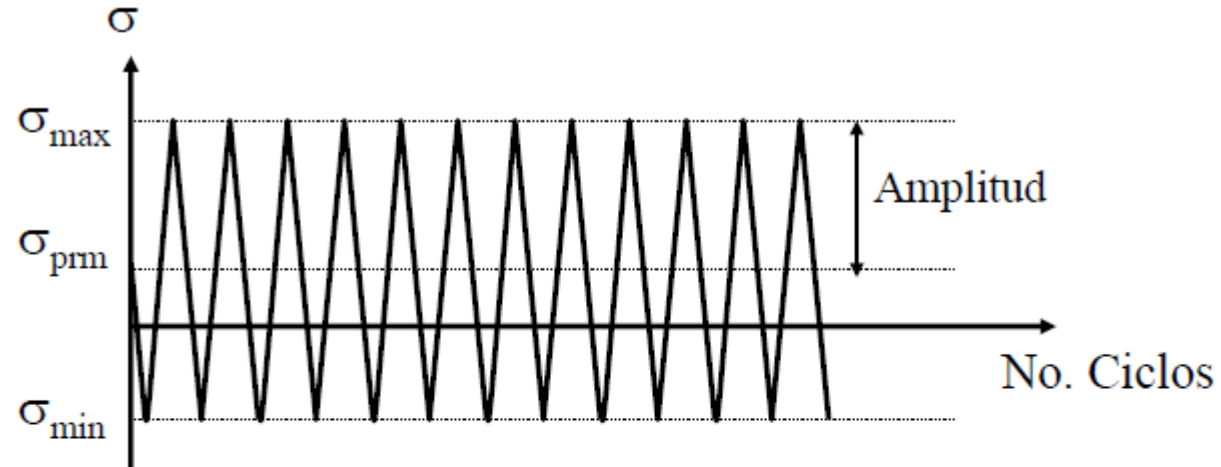
CÍRCULO DE MOHR

## 3.6 Ensayos en materiales

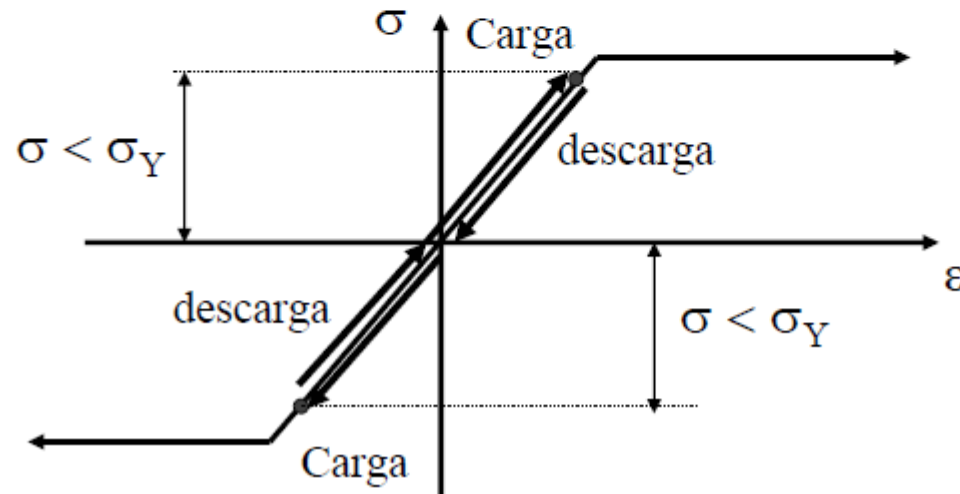


## 3.6 Ensayos en materiales

Protocolo de carga cíclica

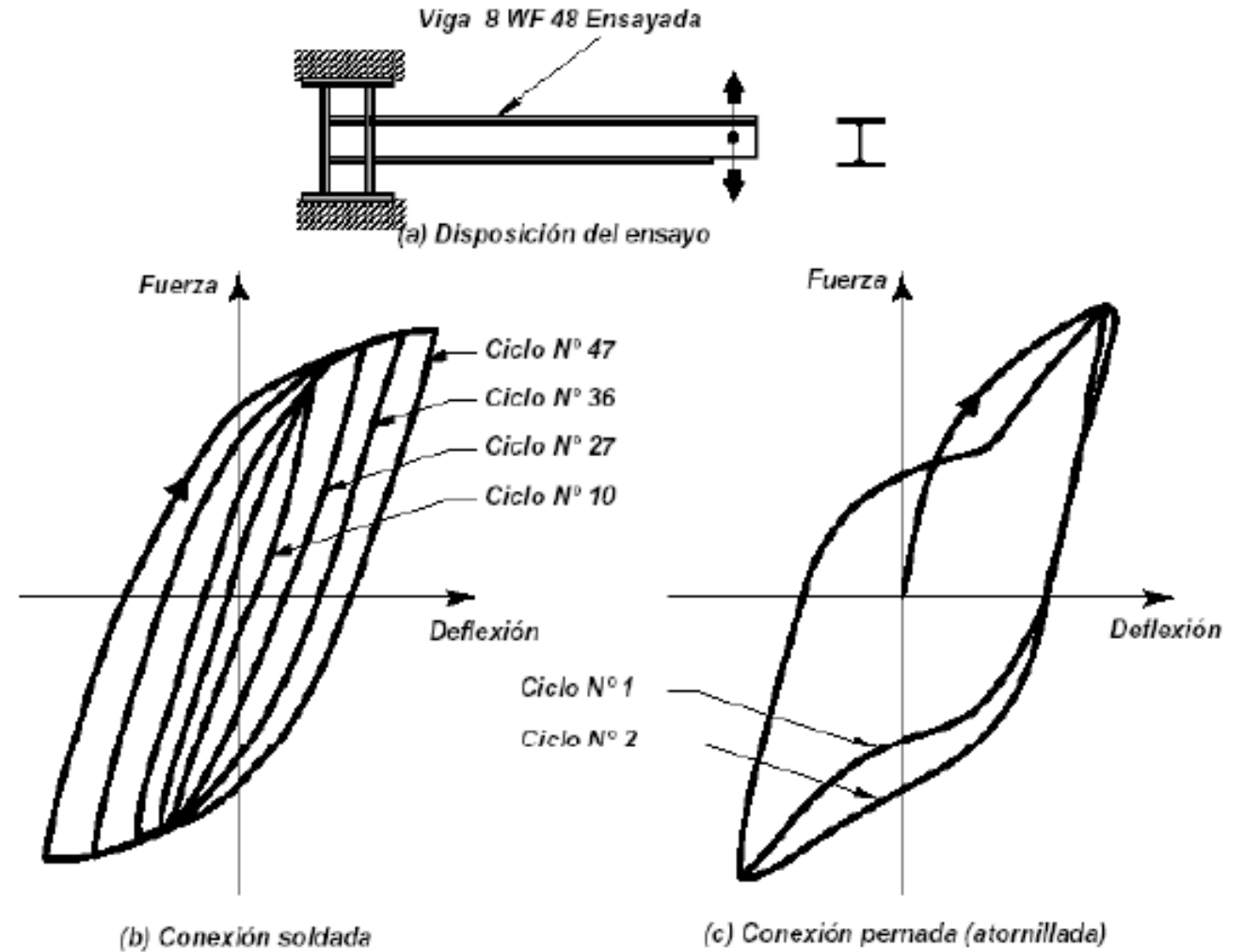
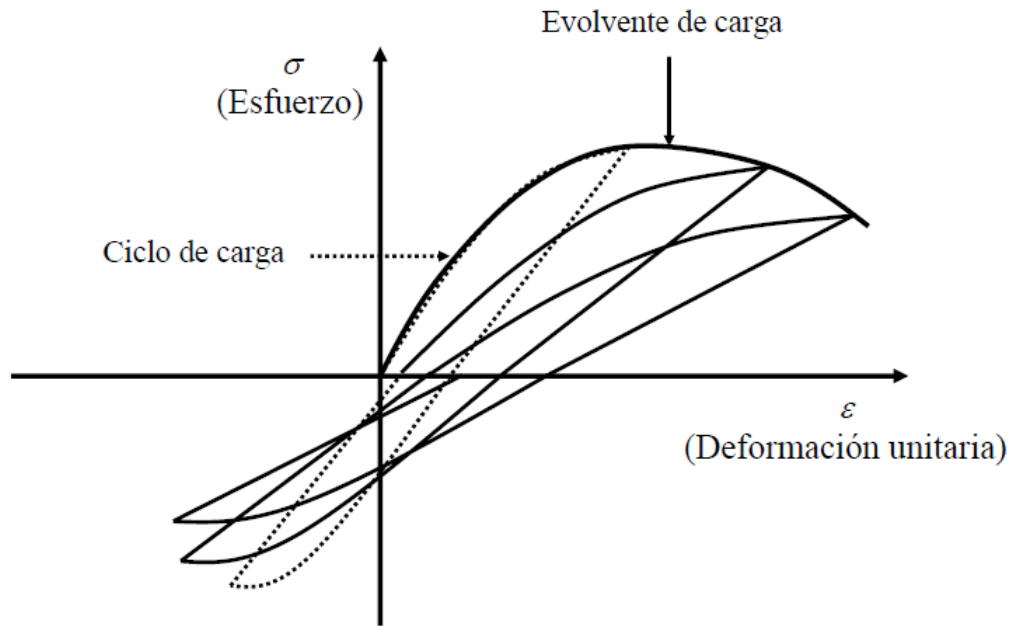


Comportamiento del material

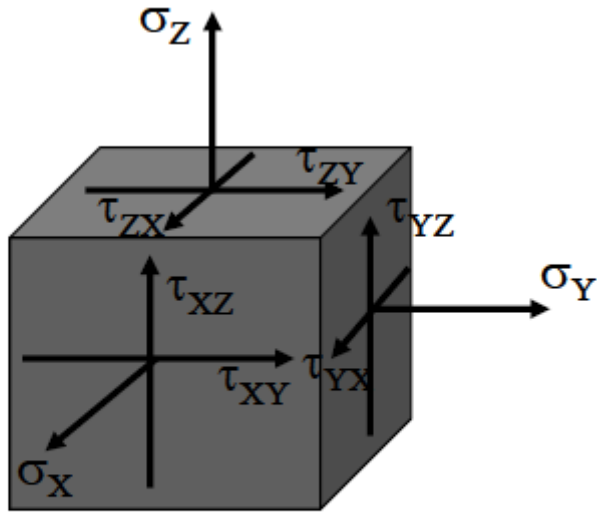




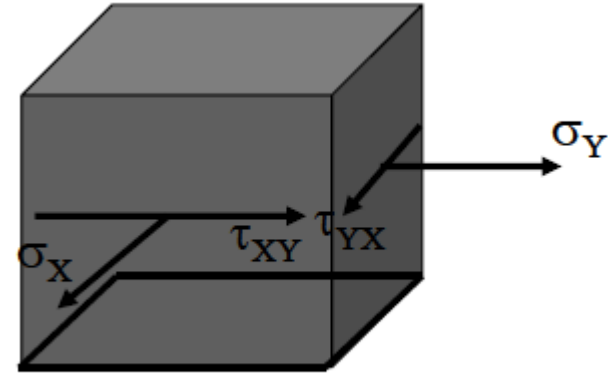
## 3.6 Ensayos en materiales



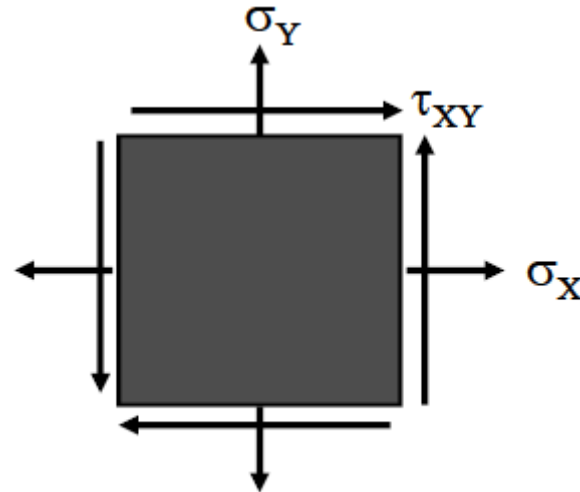
## 3.7 Círculo de Mohr



Estado General de Esfuerzos



Esfuerzo Plano



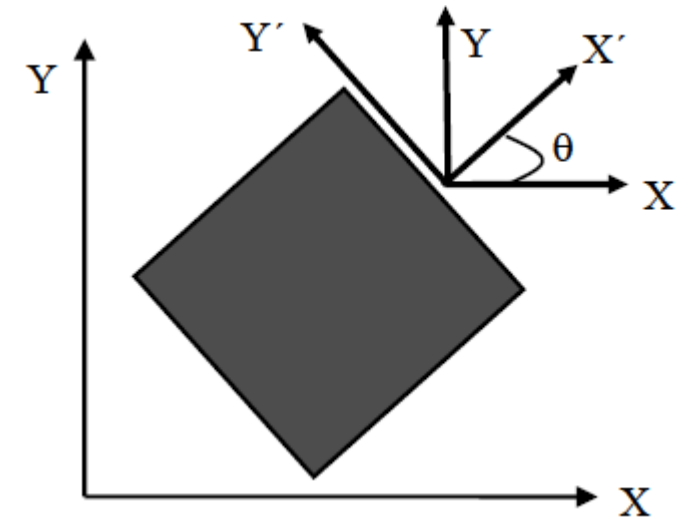
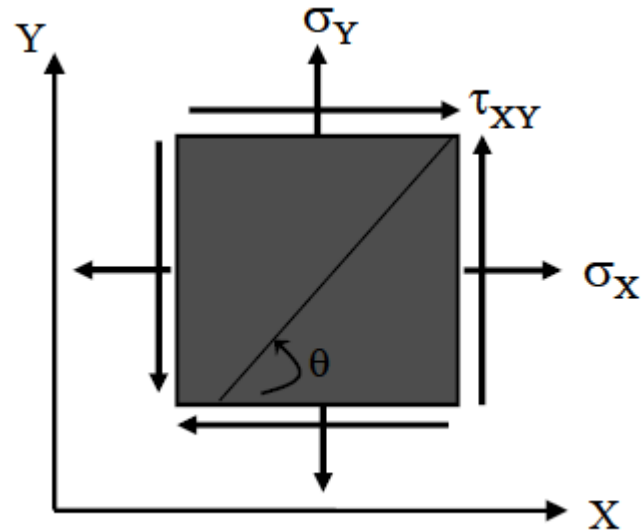
Esfuerzo Plano (vista en 2D)

COMPORTAMIENTO  
MATERIAL

ENSAYOS EN  
MATERIALES

CÍRCULO DE MOHR

# Concepto de esfuerzo en el plano



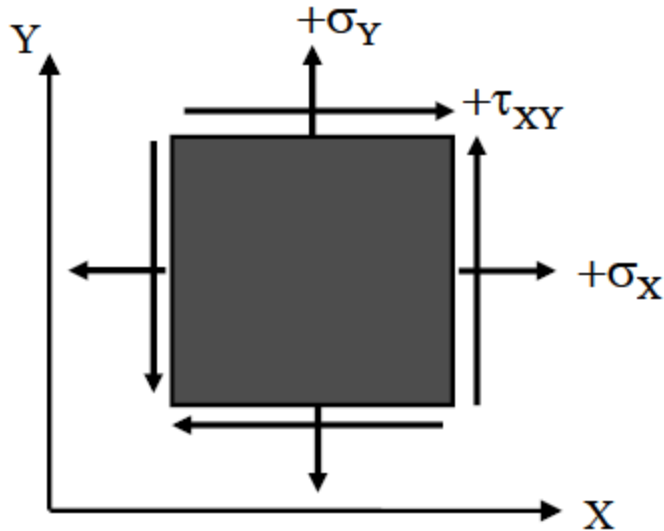
COMPORTAMIENTO  
MATERIAL

ENSAYOS EN  
MATERIALES

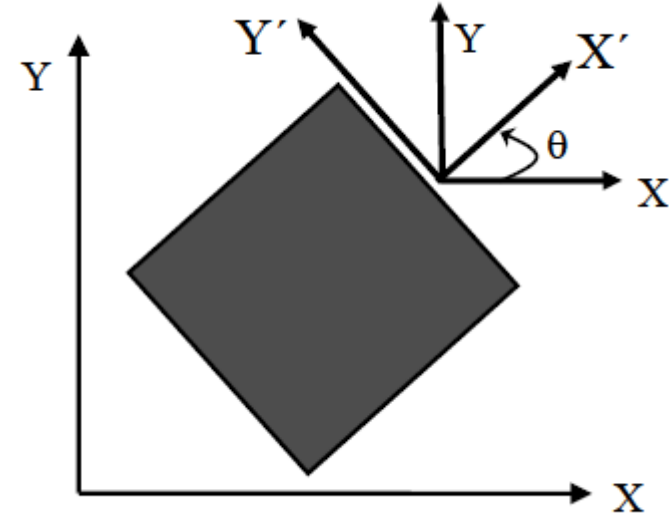
CÍRCULO DE MOHR

# Ecuaciones generales de esfuerzo plano

## Convenciones de signos

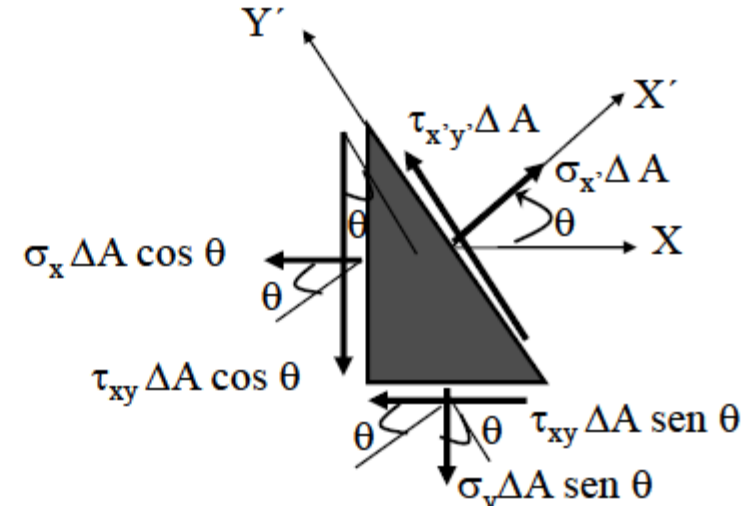
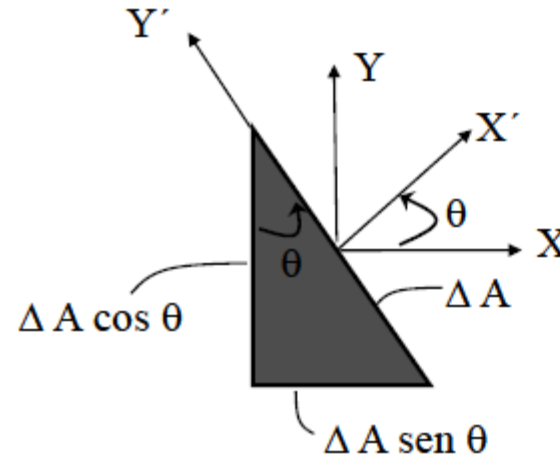
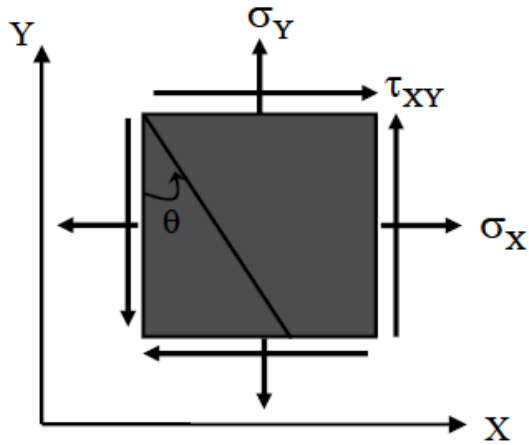


- Esfuerzo normal + hacia afuera sobre todas las caras
- Esfuerzo cortante + hacia arriba sobre la cara derecha del elemento.



- Ángulo + se mide desde el eje x positivo en dirección contraria a las manecillas del reloj (regla de la mano derecha).

# Ecuaciones generales de esfuerzo plano



$$\Sigma F_{x'} = 0 \rightarrow \sigma_{x'} = \frac{\sigma_x + \sigma_y}{2} + \frac{\sigma_x - \sigma_y}{2} \cos(2\theta) + \tau_{xy} \sin(2\theta) \longrightarrow \text{Reemplazando } \theta = \theta + 90^\circ$$

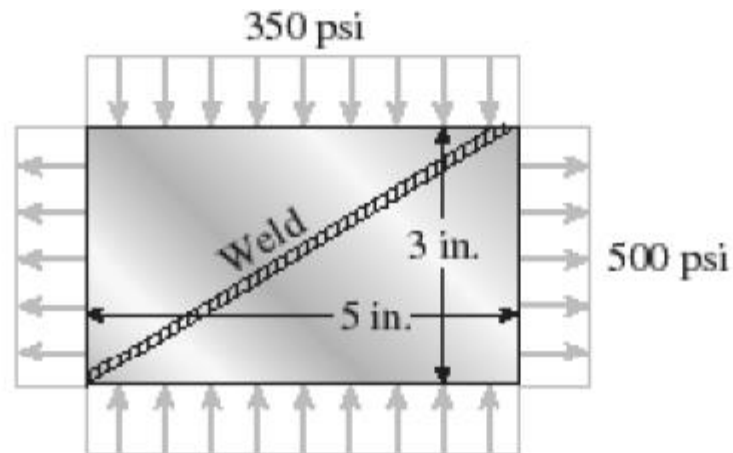
$$\Sigma F_{y'} = 0 \rightarrow \tau_{x'y'} = -\frac{\sigma_x - \sigma_y}{2} \sin(2\theta) + \tau_{xy} \cos(2\theta)$$

$$\sigma_{y'} = \frac{\sigma_x + \sigma_y}{2} - \frac{\sigma_x - \sigma_y}{2} \cos(2\theta) - \tau_{xy} \sin(2\theta)$$

# Ecuaciones generales de esfuerzo plano

## Ejemplo:

Una placa rectangular de 3.0 pulg. x 5.0 pulg. esta formada por dos placas triangulares unidas por una soldadura. La placa está sometida a un esfuerzo de tensión y de compresión como se muestra en la figura. Encuentre el esfuerzo normal y de cortante en la soldadura.



# Ecuaciones generales de esfuerzo plano

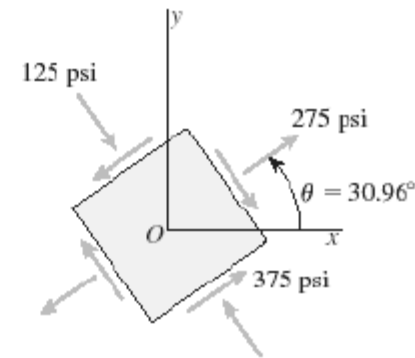
**Ejemplo:**

$$\sigma_x = 500 \text{ psi} \quad \sigma_y = -350 \text{ psi} \quad \tau_{xy} = 0$$
$$\theta = \arctan \frac{3 \text{ in.}}{5 \text{ in.}} = \arctan 0.6 = 30.96^\circ$$

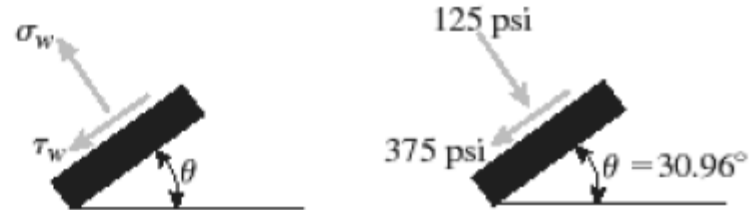
$$\sigma_{x_1} = \frac{\sigma_x + \sigma_y}{2} + \frac{\sigma_x - \sigma_y}{2} \cos 2\theta + \tau_{xy} \sin 2\theta$$
$$= 275 \text{ psi}$$

$$\tau_{x_1y_1} = -\frac{\sigma_x - \sigma_y}{2} \sin 2\theta + \tau_{xy} \cos 2\theta = -375 \text{ psi}$$

$$\sigma_{y_1} = \sigma_x + \sigma_y - \sigma_{x_1} = -125 \text{ psi}$$



Esfuerzos actuando en la soldadura:



$$\sigma_w = -125 \text{ psi} \quad \leftarrow$$

$$\tau_w = 375 \text{ psi} \quad \leftarrow$$

# Esfuerzos principales y de cortante máximo

¿Cómo hallar el esfuerzo normal máximo?

$$\sigma_{x'} = \frac{\sigma_x + \sigma_y}{2} + \frac{\sigma_x - \sigma_y}{2} \cos(2\theta) + \tau_{xy} \sin(2\theta) \quad \rightarrow \quad \frac{d\sigma_{x'}}{d\theta} = -\frac{\sigma_x - \sigma_y}{2} 2 \sin(2\theta) + 2\tau_{xy} \cos(2\theta) = 0$$

Resolviendo para  $\theta$ :

$$\tan(2\theta_p) = \frac{\tau_{xy}}{\frac{\sigma_x - \sigma_y}{2}}$$

$\theta_p$

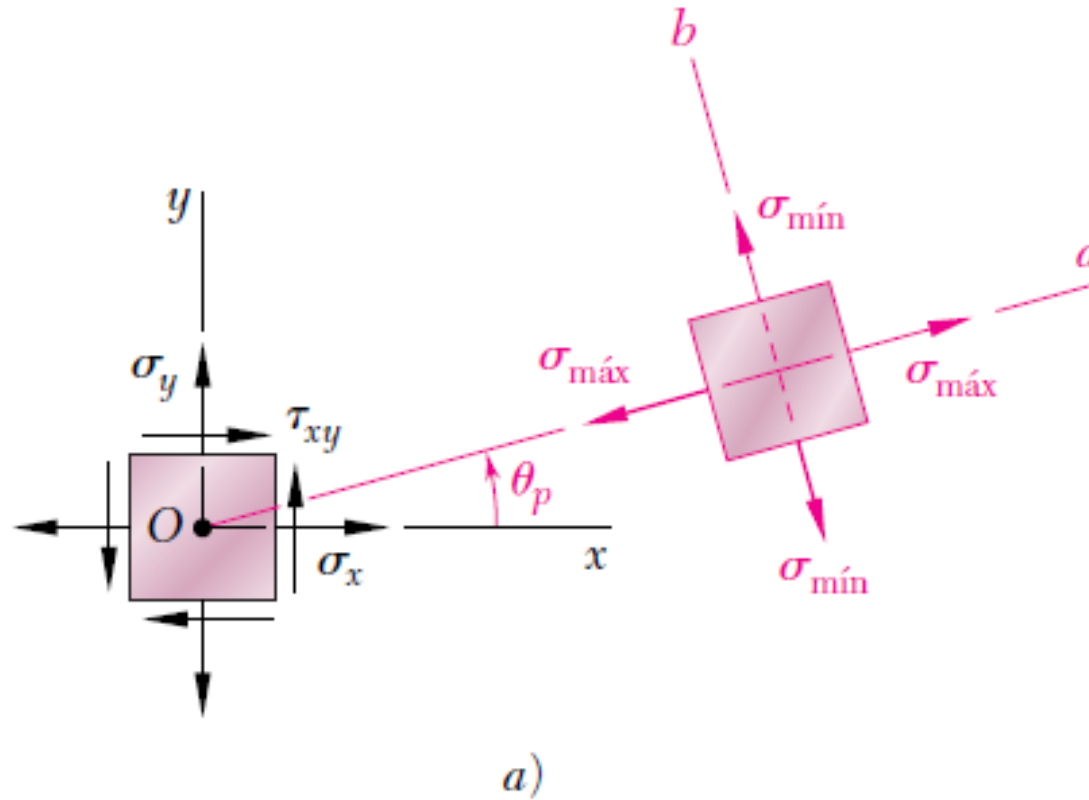
Ángulo para llegar a plano principal donde actúan esfuerzos normales máximos

Esfuerzos principales:  
(Esfuerzos normales máximos)

$$\sigma_{1,2} = \frac{\sigma_x + \sigma_y}{2} \pm \sqrt{\left(\frac{\sigma_x - \sigma_y}{2}\right)^2 + \tau_{xy}^2} \quad \tau_{x'y'} = 0$$



# Esfuerzos principales y de cortante máximo



# Esfuerzos principales y de cortante máximo

¿Cómo hallar el esfuerzo cortante máximo?

$$\tau_{x'y'} = -\frac{\sigma_x - \sigma_y}{2} \sin(2\theta) + \tau_{xy} \cos(2\theta) \quad \rightarrow \frac{d\tau_{x'y'}}{d\theta} = 0$$

Resolviendo para  $\theta$ :

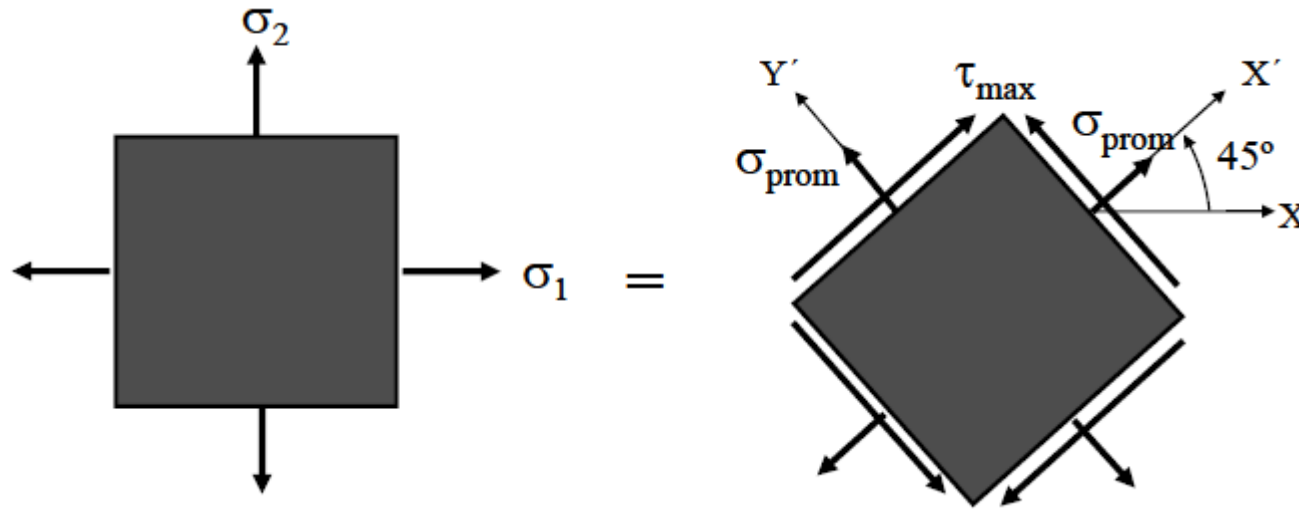
$$\tan(2\theta_s) = -\frac{\frac{\sigma_x - \sigma_y}{2}}{\tau_{xy}}$$

Los planos de esfuerzo cortante máximo se encuentran a  $45^\circ$  con respecto a la posición del plano principal.

# Esfuerzos principales y de cortante máximo

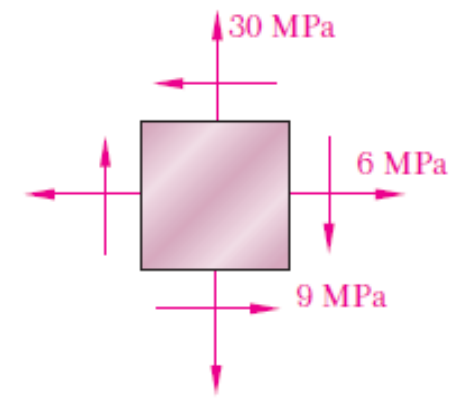
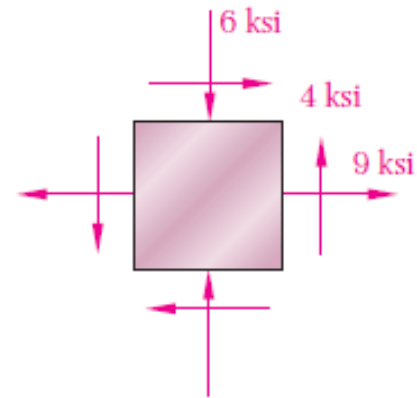
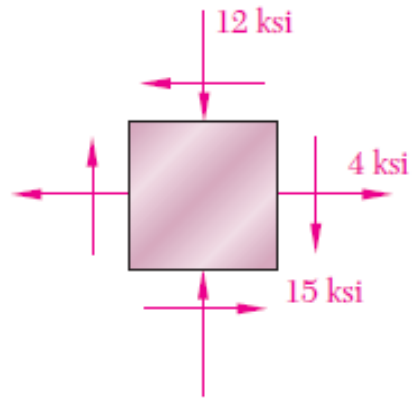
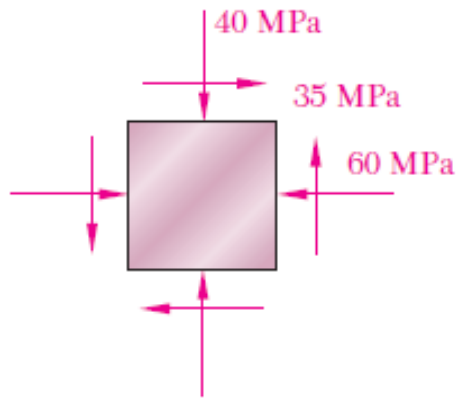
$$\tau_{max} = \sqrt{\left(\frac{\sigma_x - \sigma_y}{2}\right)^2 + \tau_{xy}^2}$$

$$\sigma_{prom} = \frac{\sigma_x + \sigma_y}{2}$$



# Esfuerzos principales y de cortante máximo

Ejemplos:



# Círculo de Mohr para esfuerzo plano

$$\sigma_{x'} = \frac{\sigma_x + \sigma_y}{2} + \frac{\sigma_x - \sigma_y}{2} \cos(2\theta) + \tau_{xy} \sin(2\theta) \rightarrow \boxed{\sigma_{x'} - \frac{\sigma_x + \sigma_y}{2} = \frac{\sigma_x - \sigma_y}{2} \cos(2\theta) + \tau_{xy} \sin(2\theta)}$$

$$\boxed{\tau_{x'y'} = -\frac{\sigma_x - \sigma_y}{2} \sin(2\theta) + \tau_{xy} \cos(2\theta)}$$

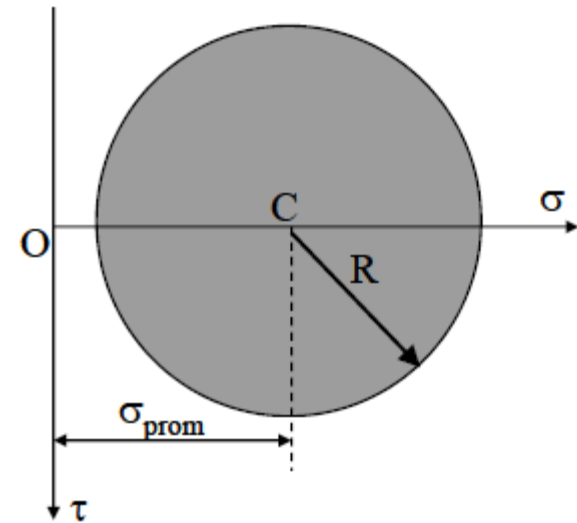
Se eleva al cuadrado cada ecuación y se suma:

$$\left(\sigma_{x'} - \frac{\sigma_x + \sigma_y}{2}\right)^2 + \tau_{x'y'}^2 = \left(\frac{\sigma_x - \sigma_y}{2}\right)^2 + \tau_{xy}^2$$

Ya que  $\sigma_x$ ,  $\sigma_y$ ,  $\tau_{xy}$  son conocidas, reescribimos la ecuación como:

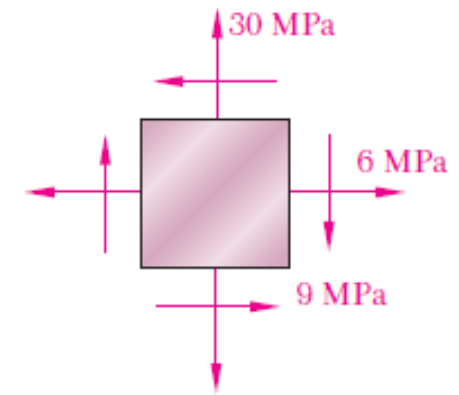
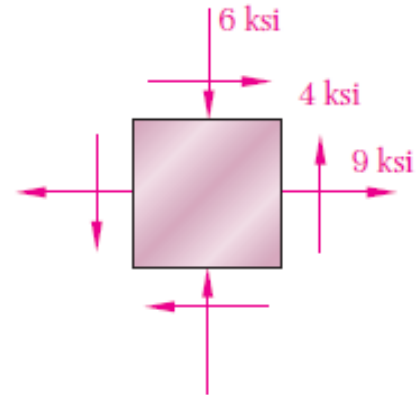
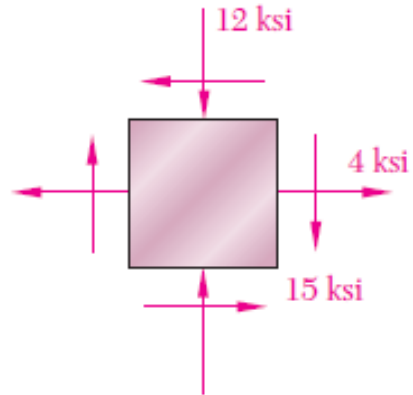
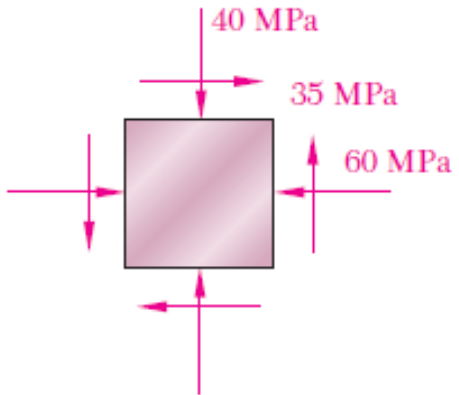
$$(\sigma_{x'} - \sigma_{prom})^2 + \tau_{x'y'}^2 = R^2$$

$$\sigma_{prom} = \frac{\sigma_x + \sigma_y}{2} \quad R = \sqrt{\left(\frac{\sigma_x - \sigma_y}{2}\right)^2 + \tau_{xy}^2}$$



# Círculo de Mohr para esfuerzo plano

## Ejemplos

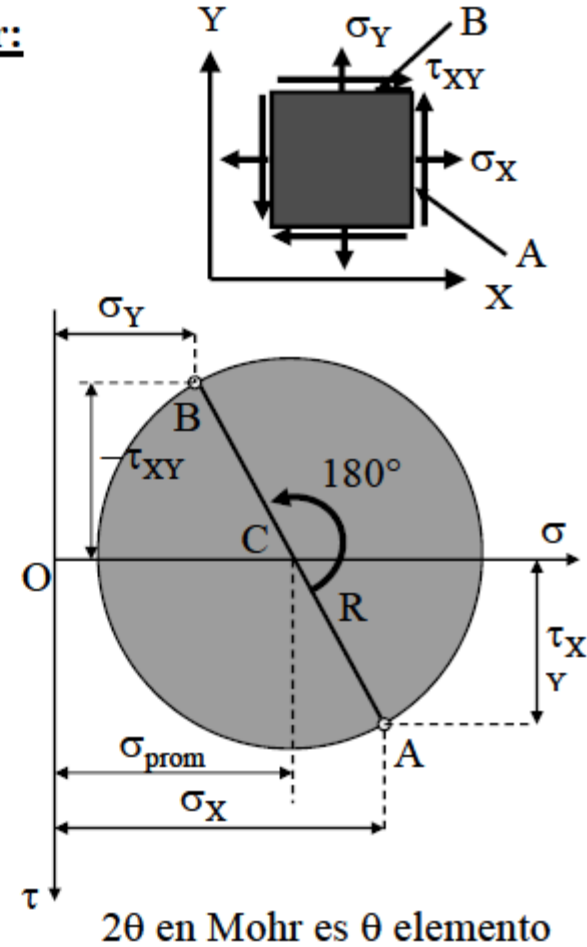


# Círculo de Mohr para esfuerzo plano

## Pasos para la construcción del círculo de Mohr:

Dados  $\sigma_x$ ,  $\sigma_y$  y  $\tau_{xy}$ :

1. Dibuje un eje de coordenadas con  $\sigma$  como abscisa (positivo hacia la derecha) y  $\tau$  como ordenada (positivo hacia abajo)
2. Localice el centro C del círculo en el punto con coordenadas ( $\sigma_{prom}$ , 0)
3. Localizar el punto A (representa las condiciones de esfuerzo sobre la cara A del elemento) con coordenadas ( $\sigma_x, \tau_{xy}$ )
4. Localizar el punto B (representa las condiciones de esfuerzo sobre la cara B del elemento) se localiza diametral con respecto a A ( $\sigma_y, -\tau_{xy}$ )
5. Con C como centro, trace el círculo de Mohr por los puntos A y B.



# Círculo de Mohr para esfuerzo plano

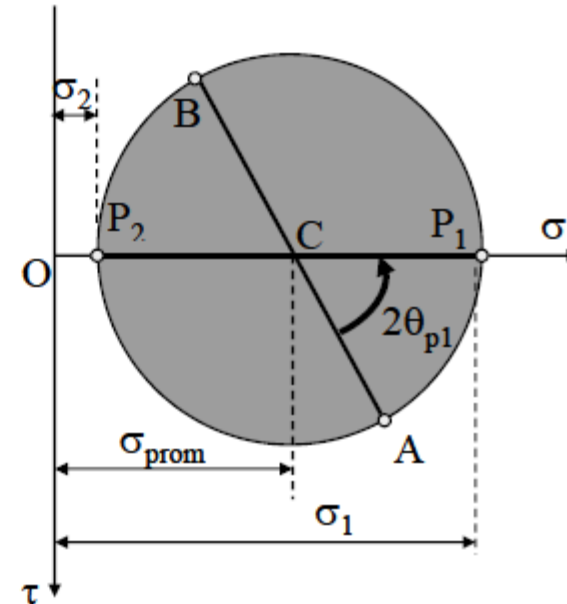
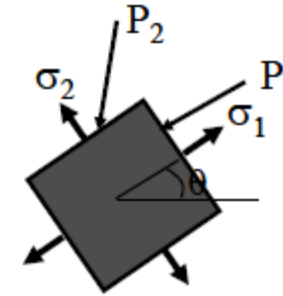
## Pasos para los esfuerzos principales:

Una vez construido el círculo de Mohr con  $\sigma_x$ ,  $\sigma_y$  y  $\tau_{xy}$ :

1. El esfuerzo principal  $\sigma_1$  es el punto en el círculo en donde esfuerzo normal alcanza su valor algebraico máximo y el cortante es 0. El plano principal está a un ángulo  $2\theta_{p1}$  desde el punto de referencia A.

2. El otro plano principal, asociado con el esfuerzo normal menor en términos algebraicos,  $\sigma_2$ , esta representado por el punto  $P_2$ , diametralmente opuesto al  $P_1$ .

$$\left. \begin{aligned} \sigma_1 &= \overline{OC} + \overline{CP_1} = \frac{\sigma_x + \sigma_y}{2} + R \\ R &= \sqrt{\left(\frac{\sigma_x - \sigma_y}{2}\right)^2 + \tau_{xy}^2} \end{aligned} \right\} \begin{aligned} \cos 2\theta_{p1} &= \frac{\sigma_x - \sigma_y}{2R} \\ \sin 2\theta_{p1} &= \frac{\tau_{xy}}{R} \end{aligned}$$





# Círculo de Mohr para esfuerzo plano

## Pasos para el esfuerzo cortante máximo:

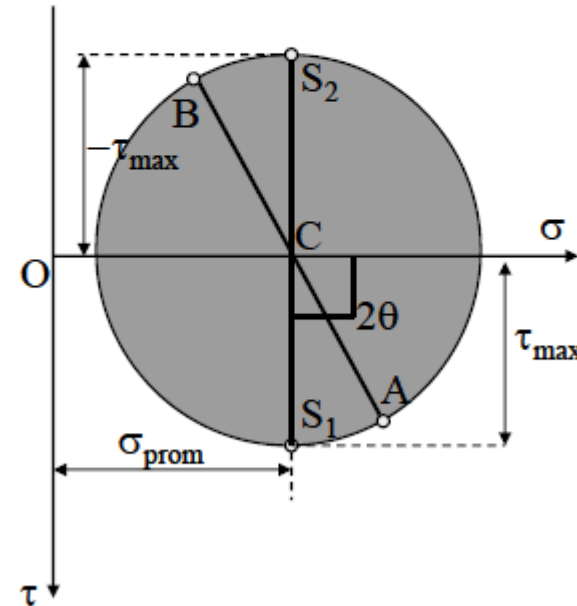
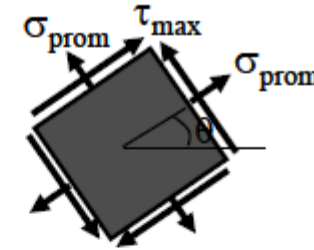
Una vez construido el círculo de Mohr con  $\sigma_x$ ,  $\sigma_y$  y  $\tau_{xy}$ :

1. Los puntos  $S_1$  y  $S_2$  representan los planos de esfuerzos cortantes máximo positivo y negativo y se localizan en la parte inferior y superior del círculo, respectivamente.

Los planos de esfuerzo cortante máximo están a  $2\theta=90^\circ$  de los planos principales en el círculo de Mohr, es decir a  $45^\circ$  en elemento.

$$\tau_{\max} = R \quad R = \sqrt{\left(\frac{\sigma_x - \sigma_y}{2}\right)^2 + \tau_{xy}^2}$$

$$\sigma_{\text{prom}} = \frac{\sigma_x + \sigma_y}{2}$$



# Referencias de clase

- BEER, F; JOHNSTON, E.R.; DEWOLF J., MAZUREK D. Mecánica de Materiales, 5ª Edición. Mc. Graw-Hill.
- García, L.E. Dinámica estructural aplicada al diseño sísmico, 1ª edición, Universidad de los Andes, Colombia, 1998.
- Correal, J. F. *Mecánica de materiales* [Material de clase]. Universidad de los Andes, Bogotá, Colombia.
- Smith, J.P. *Mechanics of materials* [Material de clase], Seattle University, Seattle, US.